

(株)神戸製鋼所 正会員 中西 宏
同 同 渡田 勝夫

1. まえがき 本報は、道路上に設けられた落石防護工などを対象として、衝撃力をうける骨組構造物の応答を計算する一つの方法を示すものである。この種の構造物の実用設計計算式を作成することを目的として、構造系をつぎのようにモデル化して弾塑性衝撃応答をできるだけ簡略に求めることを考える。①骨組自体の質量は無視できるものとし、骨組構造を一つのバネとして取り扱う。②バネの力と変形の関係については、塑性ヒンジ理論を用いた弾塑性解析を行なう。③サンドクッションなどの緩衝材を有する場合には、その緩衝材もバネに置換する。以下に、塑性ヒンジ理論を用いたエネルギー法による骨組構造の弾塑性解析を述べるとともに、落石防護工の衝撃応答をシミュレートすることを考え、緩衝材(砂)の動特性についての若干の実験結果およびその結果を用いた落石防護工の衝撃応答の試算結果を述べる。

2. 塑性ヒンジ理論に基づく骨組の弾塑性解析 材料の応力-歪み関係として完全弾塑性体を考え、塑性ヒンジの形成の条件として $(M/M_0)^2 + (N/N_0)^2 = 1$ をとる。ここで M および N は材端の曲げモーメントおよび軸力であり、 M_0 および N_0 は全断面塑性のときのモーメントおよび軸力である。いま部材 i の左端および右端の部材力をそれぞれ S_i および S_j (ともに 3×1 のベクトル) と表わし、左端のみに塑性ヒンジが形成されたとすると、塑性ヒンジ形成の条件式は

$$\|B S_i\|^2 = 1, \quad S_i = [N_i \ Q_i \ M_i]^T, \quad B = \begin{bmatrix} \frac{1}{N_0} & 0 & 0 \\ 0 & 0 & 0 \\ 0 & 0 & \frac{1}{M_0} \end{bmatrix} \quad (1)$$

となる。 Q_i は左端のせん断力である。格架 i の変位 u_i (3×1)、格架 j のそれを u_j とし、変位 u_i を弾性部分 u_{ei} と塑性部分 u_{pi} に分けて、 $u_i = u_{ei} + u_{pi}$

$$\begin{bmatrix} S_i \\ S_j \end{bmatrix} = \begin{bmatrix} k_{ii} & k_{ij} \\ k_{ji} & k_{jj} \end{bmatrix} \begin{bmatrix} u_{ei} \\ u_j \end{bmatrix} \quad (2)$$

とする。 k_{ii} などはともに 3×3 の弾性時の部材剛性行列である。こゝで $S_i = (1 - \mu_i)[k_{ii}u_i + k_{ij}u_j] \dots \dots (3)$ が成り立つとする。 μ_i は $0 < \mu < 1$ のスカラーである。式 (1) ~ (3) より

$$\mu_i = 1 - 1/\|B(k_{ii}u_i + k_{ij}u_j)\|^2, \quad S_j = (1 - \mu_i)k_{ii}u_i + (k_{jj} - k_{ji}k_{ii}^{-1}k_{ij})u_j$$

となる。したがって、左端に塑性ヒンジを生じたときの部材 i の剛性行列はつぎに示すものとなる。

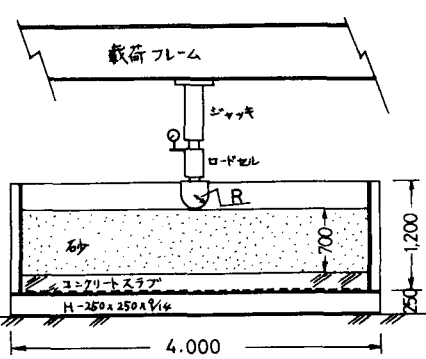
$$\begin{bmatrix} (1 - \mu_i)k_{ii} & (1 - \mu_i)k_{ij} \\ (1 - \mu_i)k_{ji} & (k_{jj} - k_{ji}k_{ii}^{-1}k_{ij}) \end{bmatrix}$$

部材 i の両端に塑性ヒンジを生じたときの部材剛性行列は同様に

$$\begin{bmatrix} (1 - \mu_i)k_{ii} & (1 - \mu_i)k_{ij} \\ (1 - \mu_j)k_{ji} & (1 - \mu_j)k_{jj} \end{bmatrix} \quad \mu_i = 1 - 1/\|B(k_{ii}u_i + k_{ij}u_j)\|^2, \quad \mu_j = 1 - 1/\|B(k_{ji}u_i + k_{jj}u_j)\|^2$$

である。塑性ヒンジが形成された場合には、これらの修正された部材剛性行列を用いて歪みエネルギーあるいは全ポテンシャルエネルギーを求める(エネルギー法の数値解析については文献 1)等を参照)

3. 落石防護工の緩衝材(砂)の動特性についての実験 落石防護工の緩衝部(砂層)を取り出して、砂層厚を 70 cm とした場合の静的載荷実験および重錘落下による衝撃実験を行なった。図 1 に静的載荷実験の概要および重錘の諸元を示す。砂層は湿润状態で、含水率は約 7% である。図 2 に二体の重錘についての実験で得られた荷重-



重錘	重量	質量	半径 R
A	0.28 t	0.0286 t	30 cm
B	0.86 t	0.0878 t	45

図 1 静的載荷実験の概要および重錘

変位関係を示す。この荷重-変位関係を図中に示したように直線AおよびBで近似すると、それぞれの場合のバネ常数(k_A および k_B と表わす)は、 $k_A = 6.18 \text{ t/m}$ 、 $k_B = 1.44 \text{ t/m}$ である。

つきに表1に重錐落下実験の結果を示す。重錐落下高さは3mおよび5mの2種類とした。表1最高値の減衰比は、粘性減衰を持つ1質点線形バネ系において、質量mが初速度 $\sqrt{2GH}$ で運動する場合の最大加速度が

$$\ddot{x} = w \sqrt{\frac{2GH}{1-k^2}} e^{-k\omega t} \sin \sqrt{1-k^2} \omega t$$

$$w = \sqrt{k/m} \quad t_0 = \frac{2}{\omega \sqrt{1-k^2}} \tan^{-1} \left(\frac{1-k}{\sqrt{1-k^2}} \right) \quad G: \text{重力加速度}, H: \text{落下高さ}, k: \text{バネ常数}, m: \text{質量}, h: \text{減衰比}$$

となることから、実験で得られた最大加速度やバネ常数との他の諸元を上式に代入して、hを求めたものである。

4. 落石防護工の衝撃応答の試算 図3に示す解析モデルについて

AおよびBの2種類の重錐が高さ3mあるいは5mから落下する場合の応答の試算を行なう。計算は、2質点の運動方程式を立て、初期条件として質量 m_2 (重錐)の初速度を与えてRunge-Kutta-Gill methodにより数値積分を行なうものである。その際、各時刻ステップごとに質量 m_2 が存在する格子③が強制変位しとして前述の塑性解析を行なって質量 m_2 (砂、床版)が受けた反力を算定する。

バネ常数 k および減衰比 h には、上述の実験で得られた値を用い、また部材断面諸元については、全部材ともヤング係数を 2×10^7 、断面積を 1.455×10^{-2} 、断面2次モーメントを 6.04×10^{-4} 、M₀およびN₀をそれぞれ95.88および523.8、m₂を0.2429として

(単位:t, m, sec.)。

計算の結果を図4～7に示す。図中のI～IVの曲線は表1の重錐落下実験に対応したものである。この試算では塑性ヒンジは生じていない。

5. あとがき 質量 m_2 の加速度計算値が実験値に比べて相当小さい値となっているが、この値はもちろん質量 m_2 の値や床版の剛性にもよる。これらについてもさらに関連的に検討していくたいと考えている。

参考文献

- 1) 渡田ら:「エネルギー法によるゲート構造の解析」第26回年次学術講演概要集

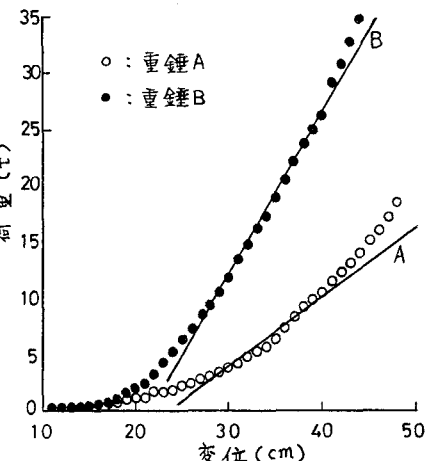


図2 荷重-変位関係(静的載荷実験結果)

表1 重錐落下実験の結果

落下高さ	重錐	最大加速度	減衰比
I	3m A	20.8	0.453
II	3m B	21.7	0.284
III	5m A	35.8	0.194
IV	5m B	33.2	0.146

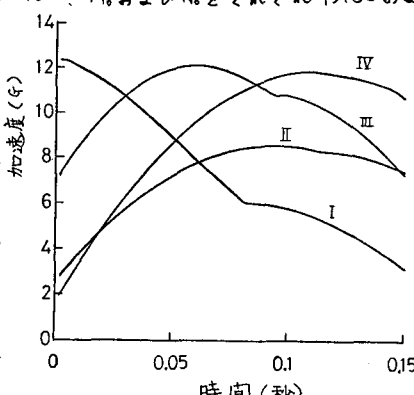
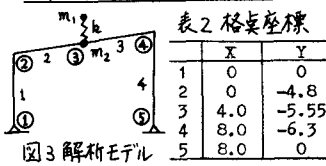


図4 落錐の加速度

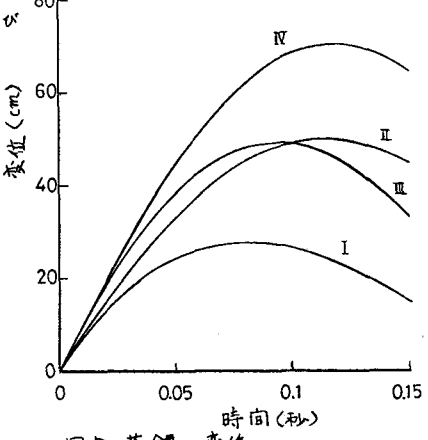


図5 落錐の変位

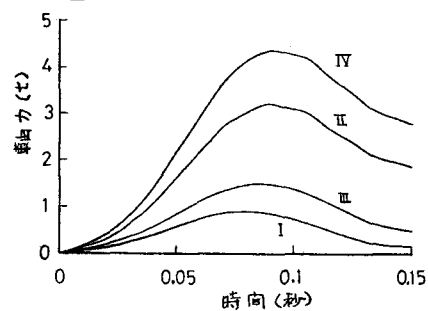
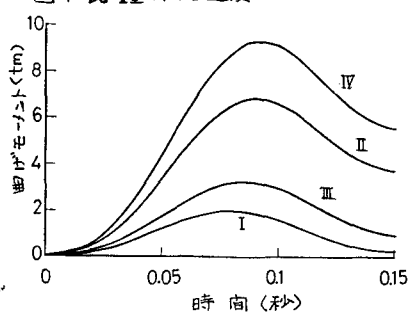


図7 部材1の軸力